



Вячеслав Клюхин (НИИЯФ МГУ)

Применение метода двойных интегралов магнитного поля в эксперименте CMS

Конференция НИИЯФ МГУ, Москва

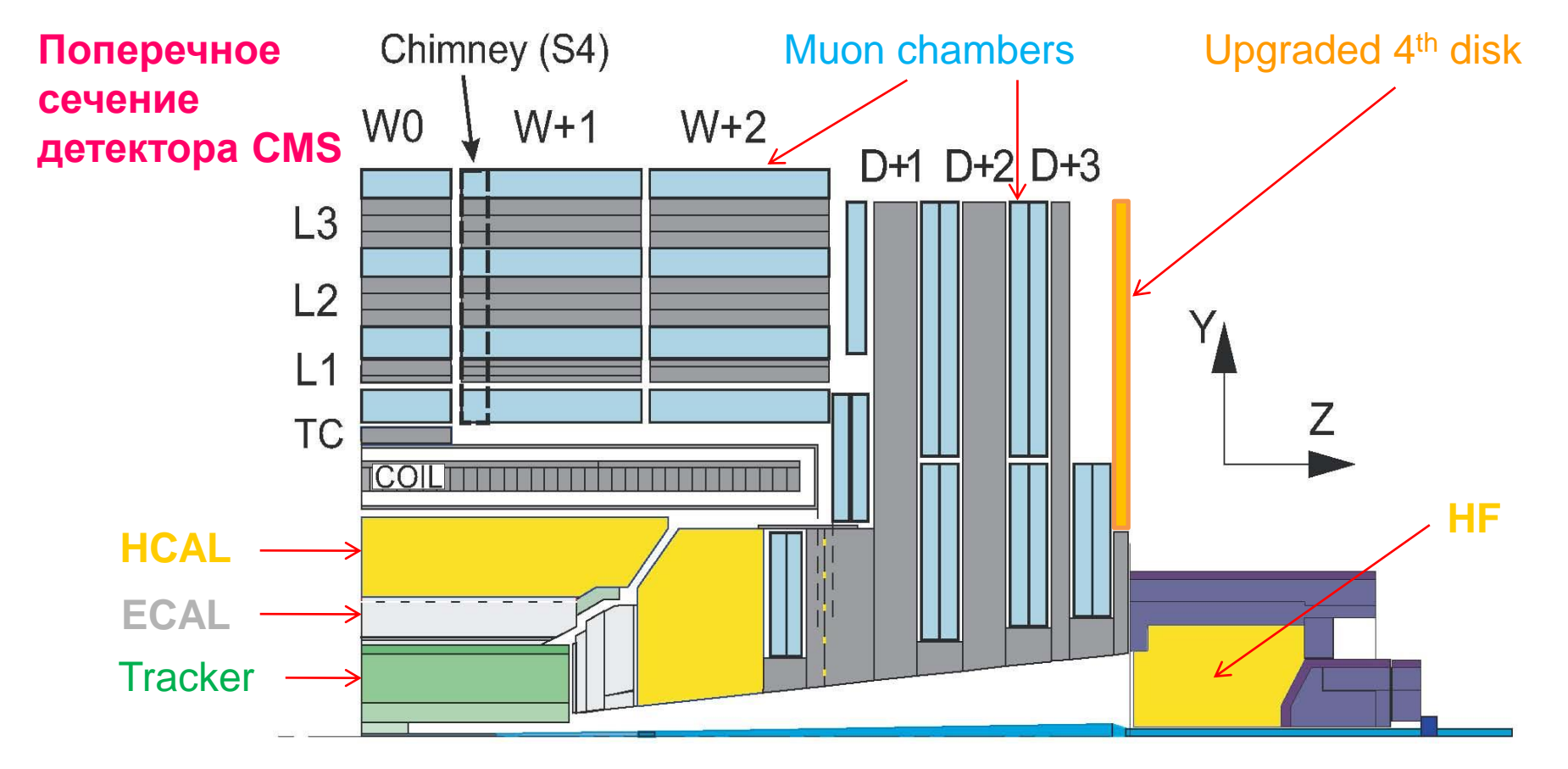
4 февраля 2022

План доклада

- Краткое описание детектора CMS.
- Описание модели магнитной системы детектора CMS.
- Определение двойных интегралов магнитного поля.
- Описание модели пластин поглотителя HGCal.
- Предел на величину относительной магнитной проницаемости нержавеющей стали, предполагаемой для изготовления пластин поглотителя HGCal.
- Поведение величины полной плотности магнитного потока и угла между вектором магнитной индукции и вектором начального импульса частицы в зависимости от длины траектории частицы и псевдобыстроты.
- Сравнение поведения двойных интегралов магнитного поля вдоль траектории частицы в зависимости от псевдобыстроты.
- Заключение.

Цель исследования

- После окончания сеанса III на Большом адронном коллайдере, торцевой адронный калориметр детектора CMS, размещённый внутри сверхпроводящего соленоида CMS будет заменён новым высокогранулярным калориметром HGCal, состоящим из кремниевых детекторов и пластин поглотителя, выполненных из нержавеющей стали, относительная магнитная проницаемость которой должна быть меньшей величины 1,05.
- В данном исследовании изучено влияние материала пластин поглотителя HGCal на однородность магнитного поля в объёме трекового детектора CMS.
- Метод исследования основан на использовании двойных интегралов магнитного поля, которыми определяется разрешение по импульсу заряженных частиц.



Superconducting coils inside the cryostats – in dark grey; Inner tracker – in green;

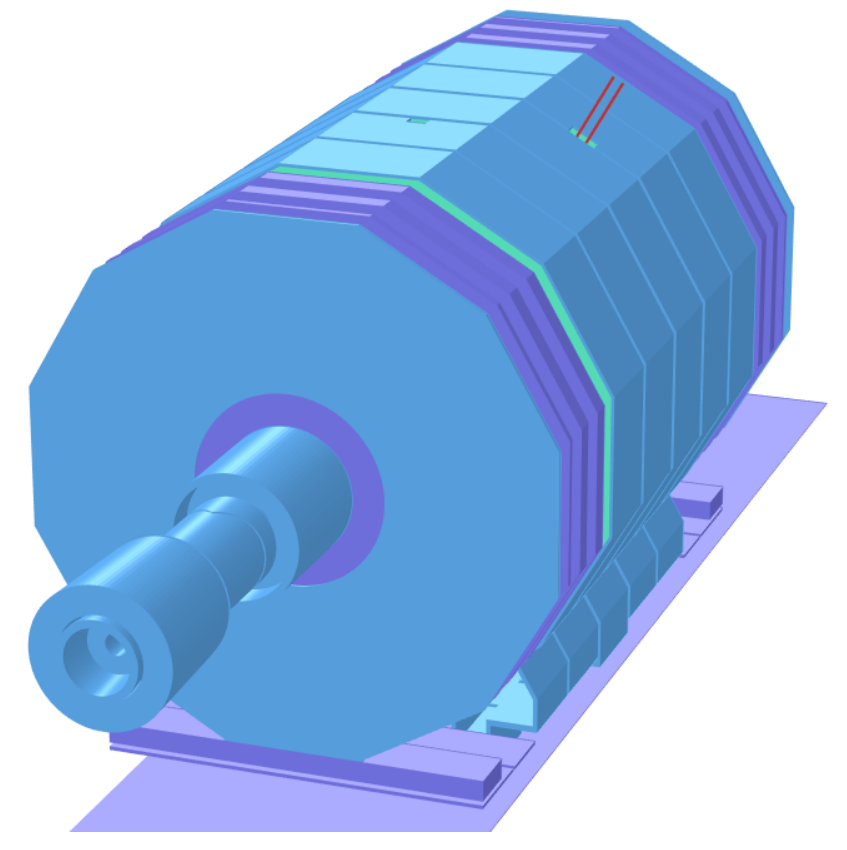
Electromagnetic calorimeter – in light grey;

Hadronic calorimeter – in yellow;

Muon chambers – in light blue;

Magnet yoke – in dark grey;

Radiation protection shield - in violet.



Трехмерная модель детектора CMS включает в себя сверхпроводящий соленоид с магнитной индукцией 3,8 Тл диаметром 6 м и длиной 12,5 м и стальное ярмо магнита весом 10000 т с внешним диаметром 15 м. Полный ток в соленоиде составляет 39,6 МА-витков. Энергия, запасенная в магнитной системе при поле 3,8 Тл составляет 2,28 ГДж. Вклад центральной части ярма магнита в величину центральной плотности магнитного потока составляет 7,97%. Вклад передних стальных элементов и пола экспериментального зала составляет 0,03%.

Определение двойных интегралов магнитного поля

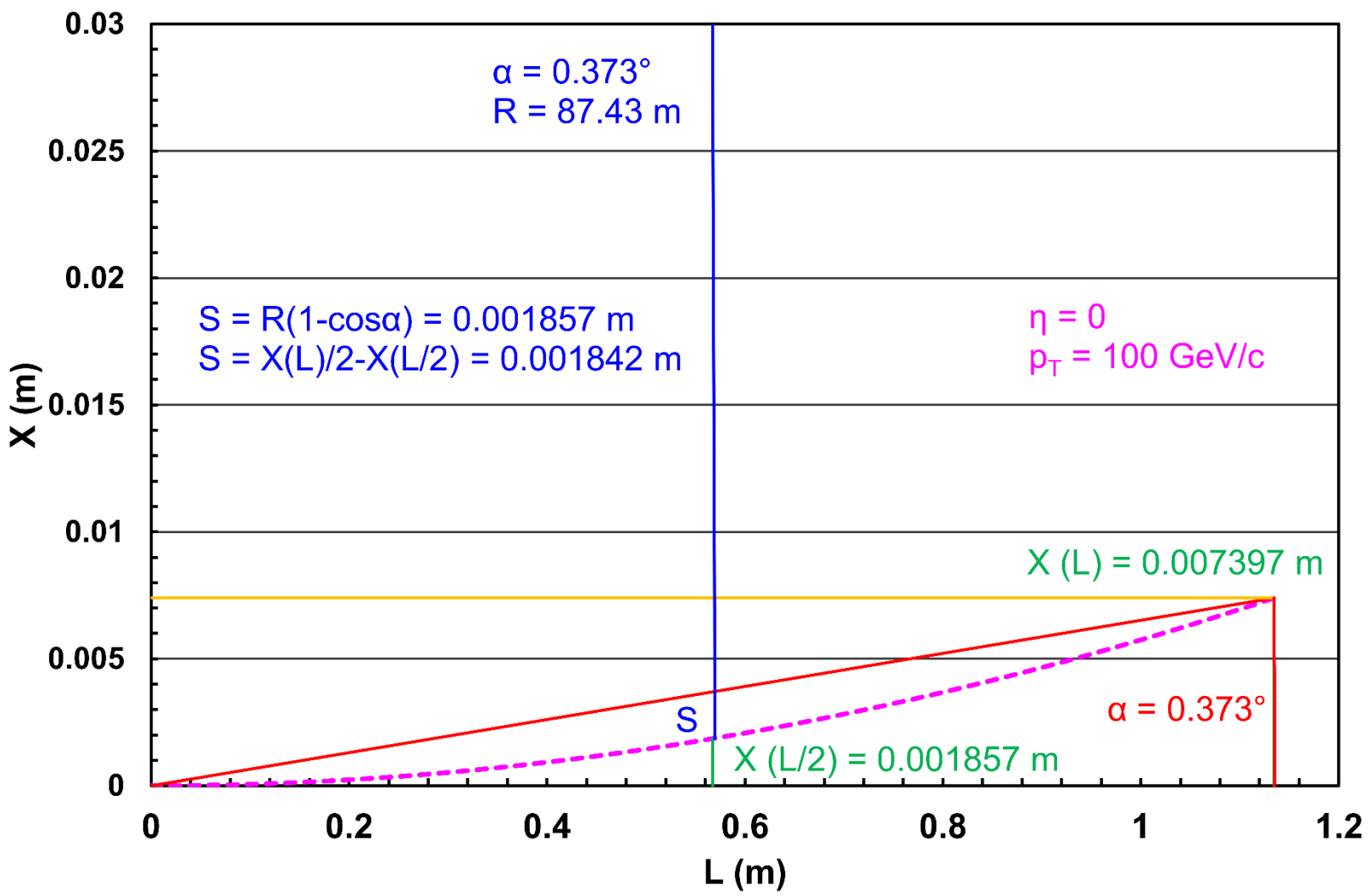
Рассмотрим траекторию заряженной частицы, испущенной под углом *θ* к оси пучка частиц из номинальной точки столкновения частиц пучка. Для малого шага *dl* вдоль траектории движения частицы в идеальном соленоиде с однородным магнитным полем изменение *dα* угла поворота частицы лежит в плоскости, поперечной пучку частиц, и определяется выражением

$$d\alpha = \frac{0.3}{p_T} B \ dl \ sin\theta,$$

где длина траектории / измеряется в метрах, поперечный импульс частицы p_T измеряется в ГэВ/c, а величина вектора плотности магнитного потока B измеряется в Тл. В случае неоднородного магнитного поля траектория частицы заворачивается в направлении, определяемом векторным произведением $dI \times B$. На длине / угол поворота частицы α по отношению к RZ-плоскости, определяемой вектором начального импульса частицы и осью пучка частиц, составляет

$$\alpha(l) = \frac{0.3}{p_T} \int_{0}^{l} B \sin\theta_{(dl,B)} dl,$$

где полярный угол θ является углом между вектором начального импульса частицы и вектором плотности магнитного потока B. Тогда поперечное отклонение траектории частицы x определяется интегрированием этого выражения по dr = dl $sin\theta$, где r— радиус в поперечной плоскости.



Траектория заряженной частицы с поперечным импульсом 100 ГэВ/с в плоскости, поперечной оси пучка взаимодействующих частиц при значении псевдобыстроты частицы $\eta = 0$. Здесь R - pадиус траектории, S - pасстояние от центра дуги до центра ее основания (сагитта).

Определение поперечного отклонения траектории

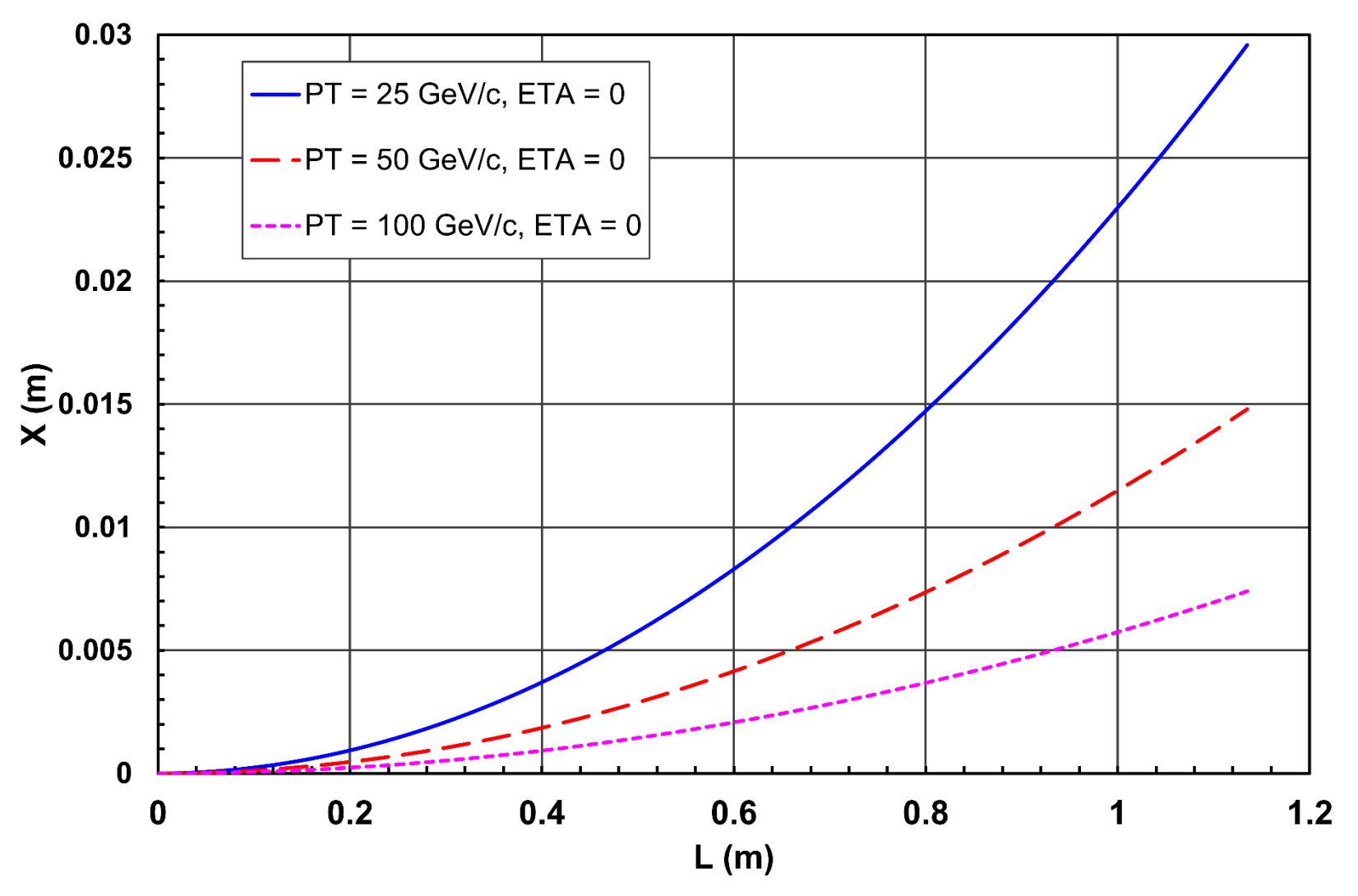
Следовательно,

$$x(l) = \frac{0.3}{p_T} \int_{0}^{l \sin\theta} \int_{0}^{r/\sin\theta} B \sin\theta_{(dl,\mathbf{B})} dl dr.$$

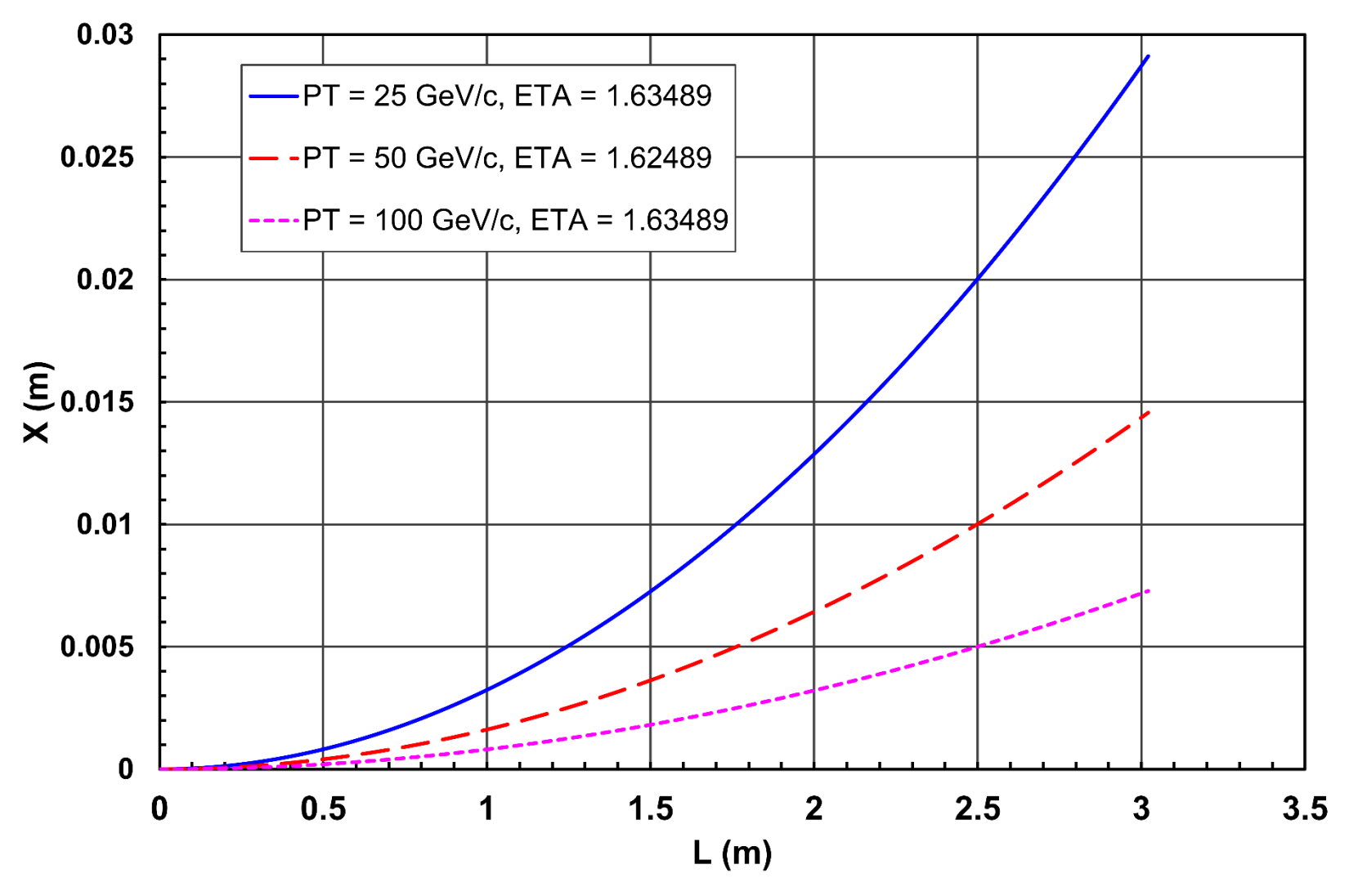
Для идеального соленоида поперечное отклонение частицы x(I) пропорционально P. Разрешение по импульсу частицы $\Delta p/p$ пропорционально величине деградации 1-R, где R представляет собой отношение величины x(L) в поле реального соленоида к той же величине в идеальном соленоиде, а L является проекцией полной длины траектории частицы в объёме трековой системы на RZ-плоскость, что оправдано при больших поперечных импульсах.

В детекторе CMS этот объём представляет собой цилиндр длиной 5.6 м и диаметром 2,27 м. Двойные интегралы магнитного поля вычислены в области псевдобыстроты η от 0 до 3, где $\eta = -ln[tan(\theta/2)]$, а θ — полярный угол в системе координат детектора CMS. Значение $\eta = 1,63489$ соответствует углу квадранта RZ-плоскости в трековом объёме.

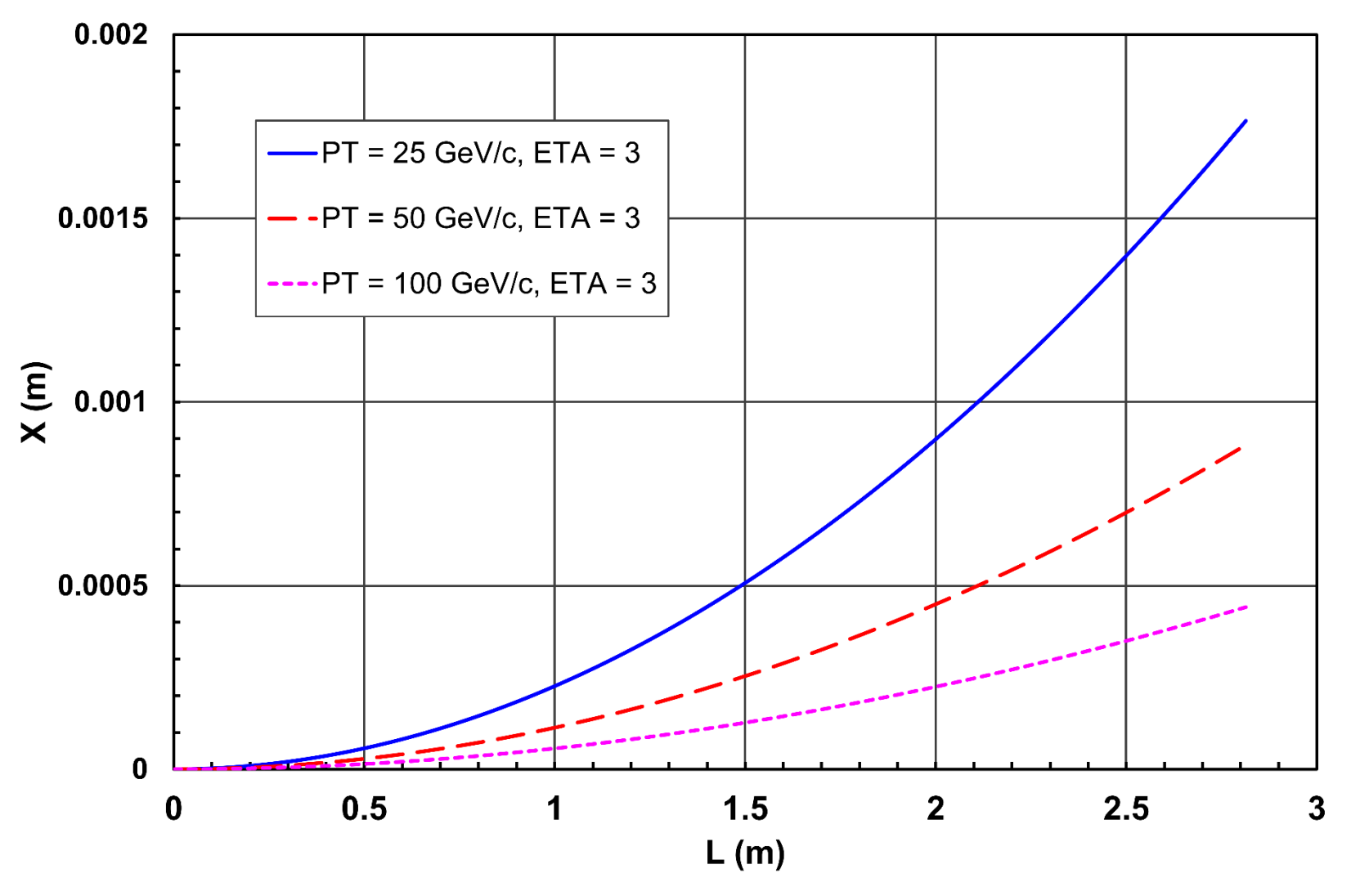
Деградация величины 1 - R в зависимости от η отражает зависимость деградации разрешения по импульсу частицы от псевдобыстроты.



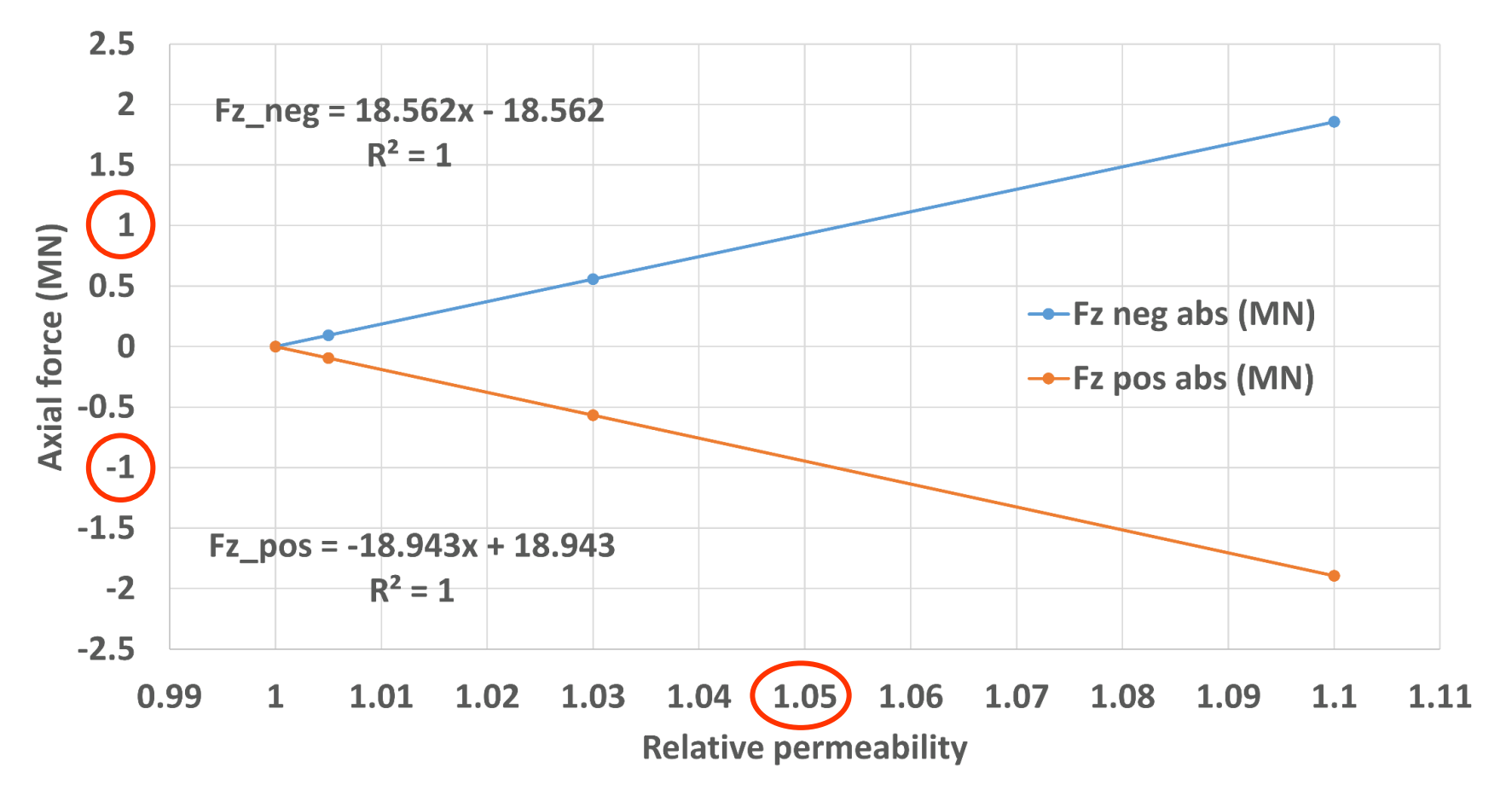
Траектории заряженных частиц с поперечными импульсами 25, 50 и 100 ГэВ/с в плоскости, поперечной оси пучка взаимодействующих частиц при значении псевдобыстроты частиц $\eta = 0$.



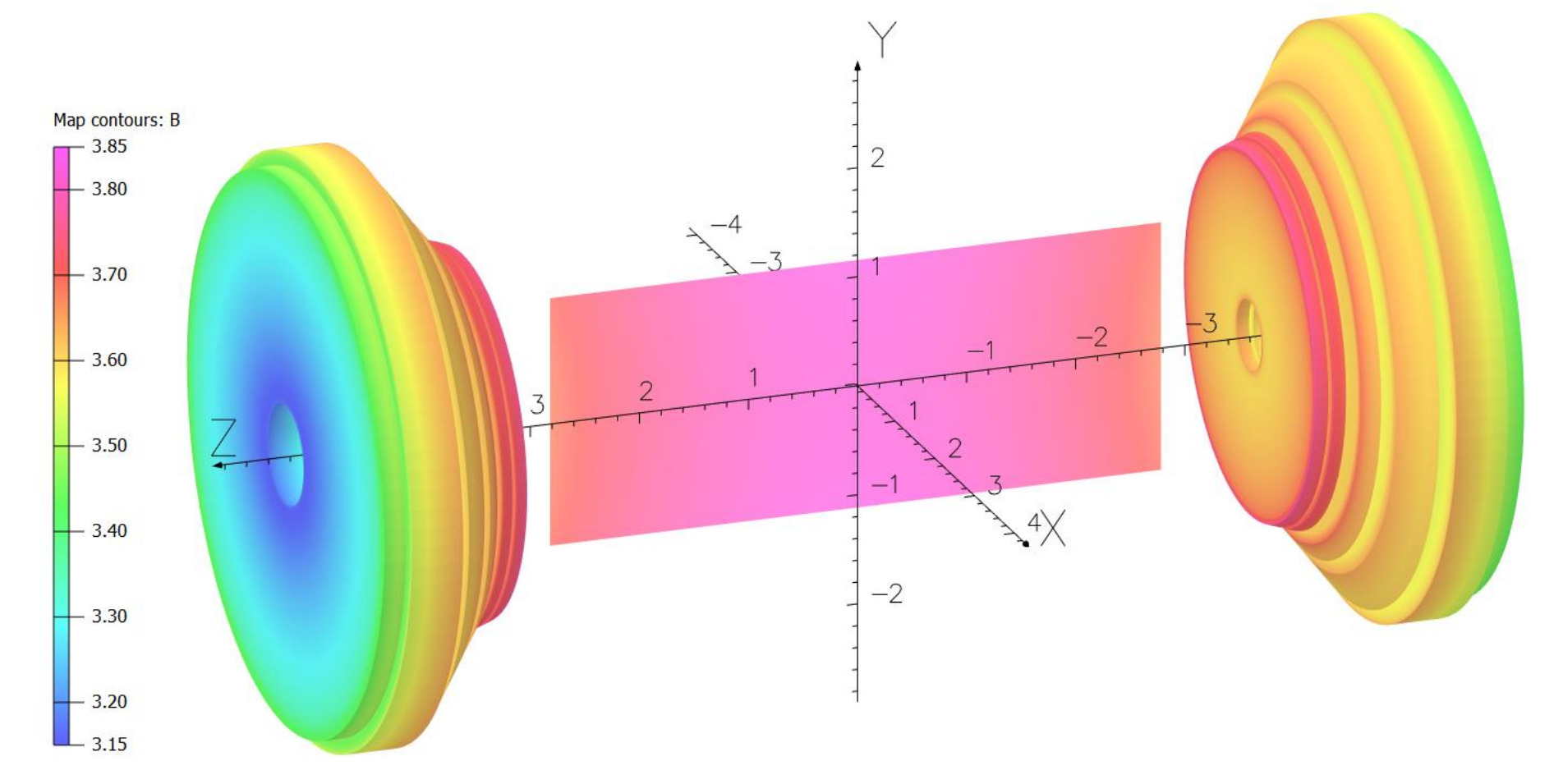
Проекции траекторий заряженных частиц с поперечными импульсами 25, 50 и 100 ГэВ/с при значении псевдобыстроты частиц η = 1,63489 на плоскость, поперечную оси пучка взаимодействующих частиц.



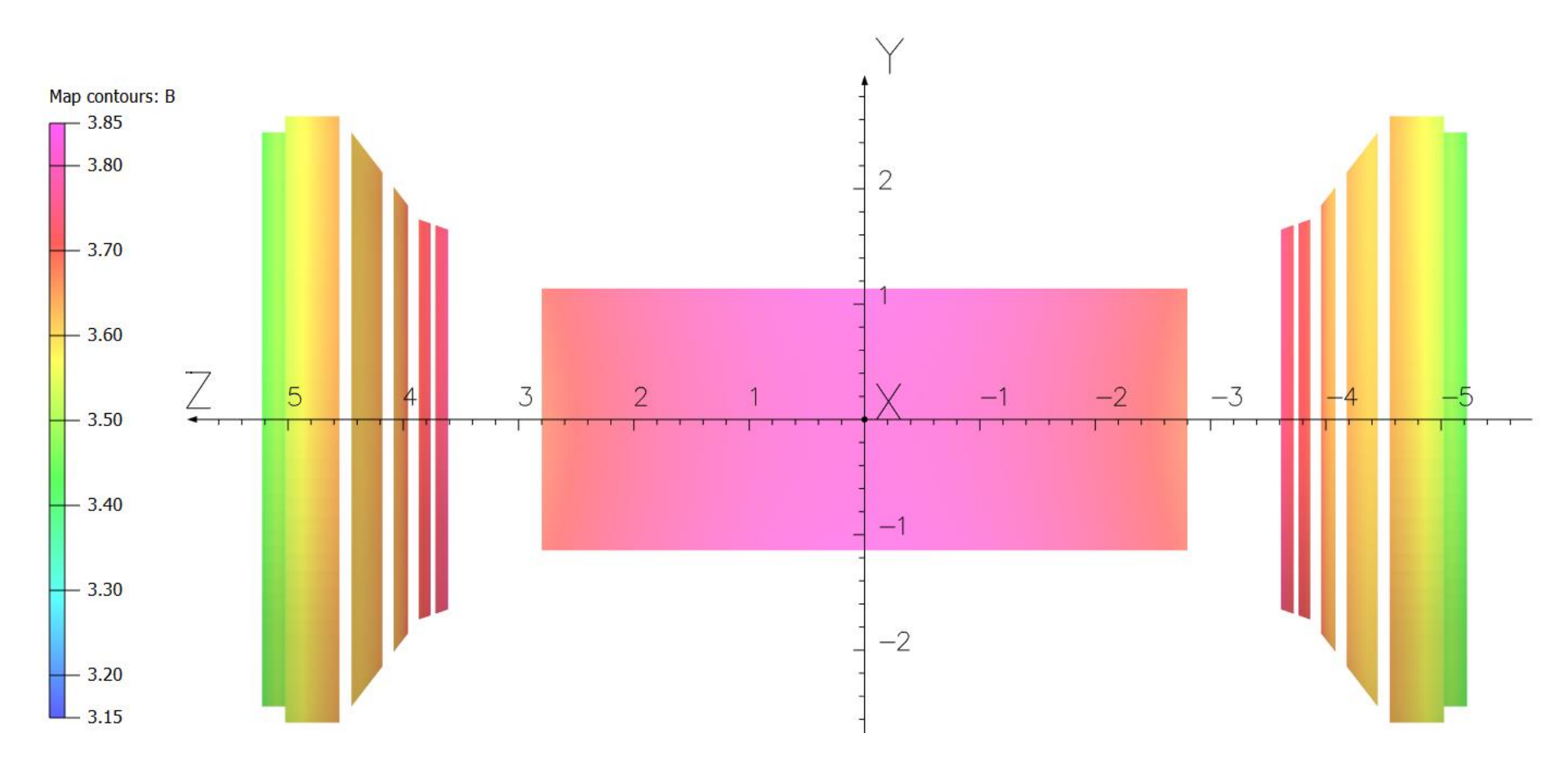
Проекции траекторий заряженных частиц с поперечными импульсами 25, 50 и 100 ГэВ/с при значении псевдобыстроты частиц $\eta = 3$ на плоскость, поперечную оси пучка взаимодействующих частиц.



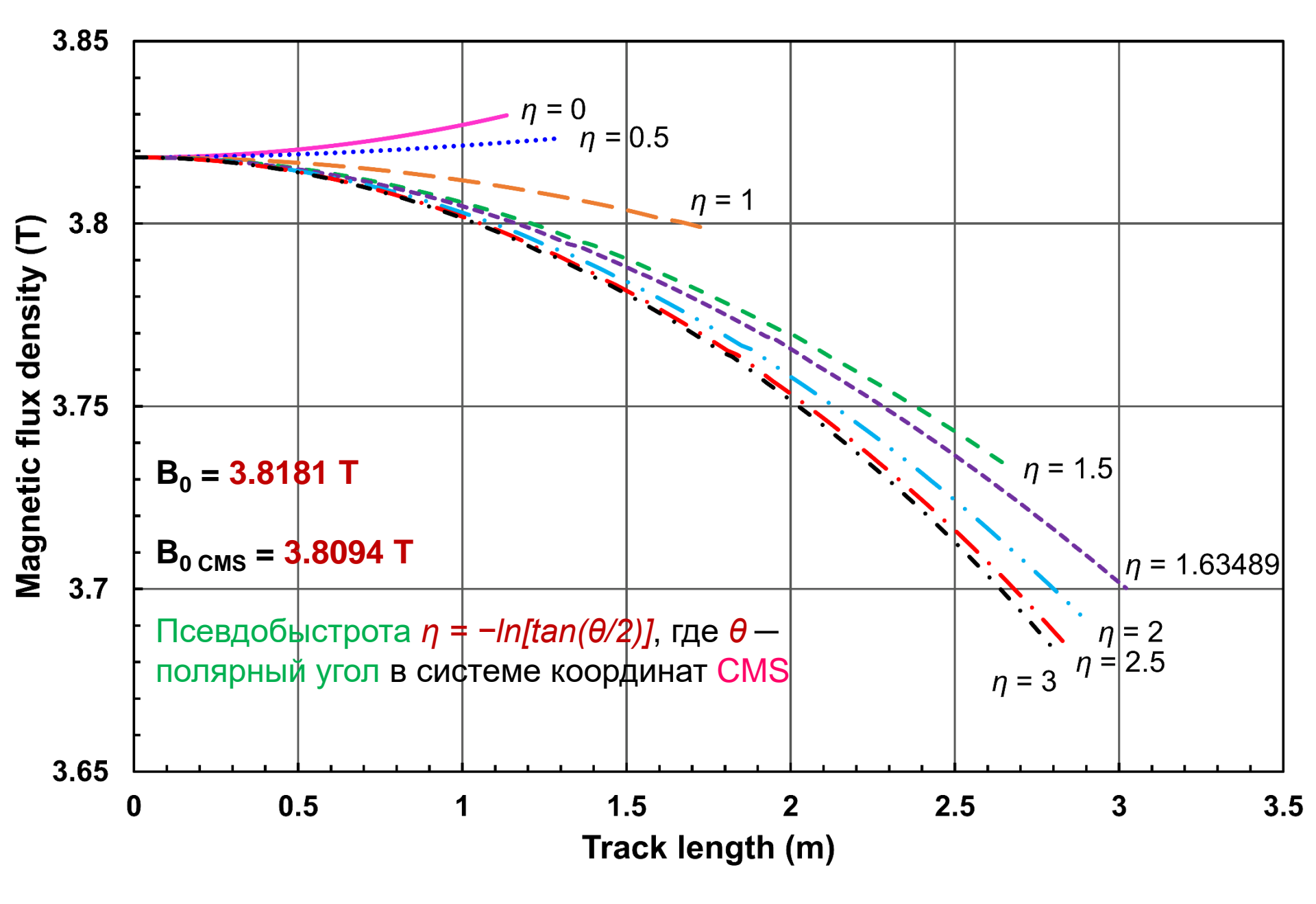
Продольная составляющая магнитной силы, действующей на пластины поглотителя адронного высокогранулярного торцевого калориметра HGCal, в зависимости от величины относительной магнитной проницаемости нержавеющей стали. Предел механической прочности конструкции на уровне 1 МН ограничивает значение относительной магнитной проницаемости сверху величиной 1,05.

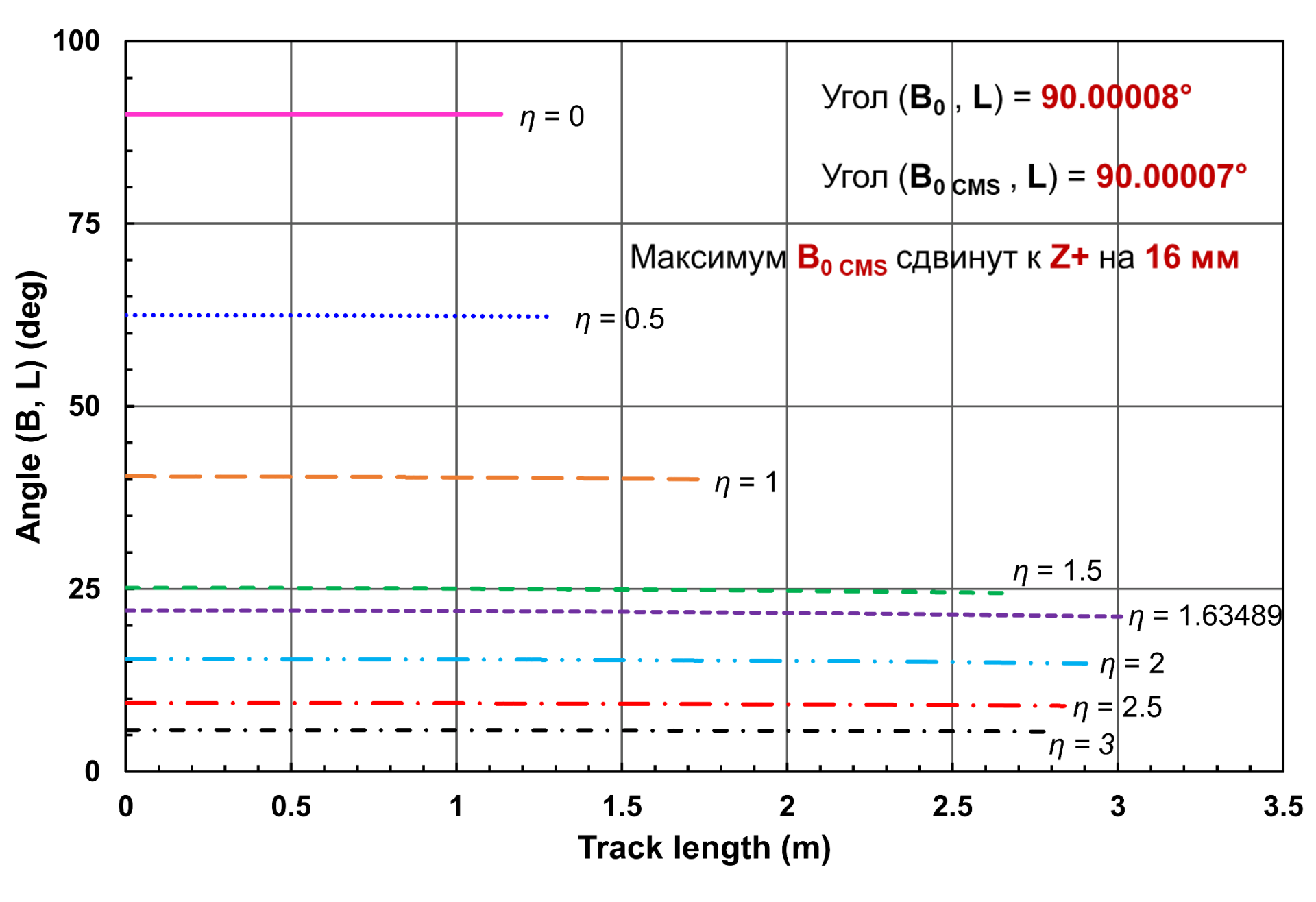


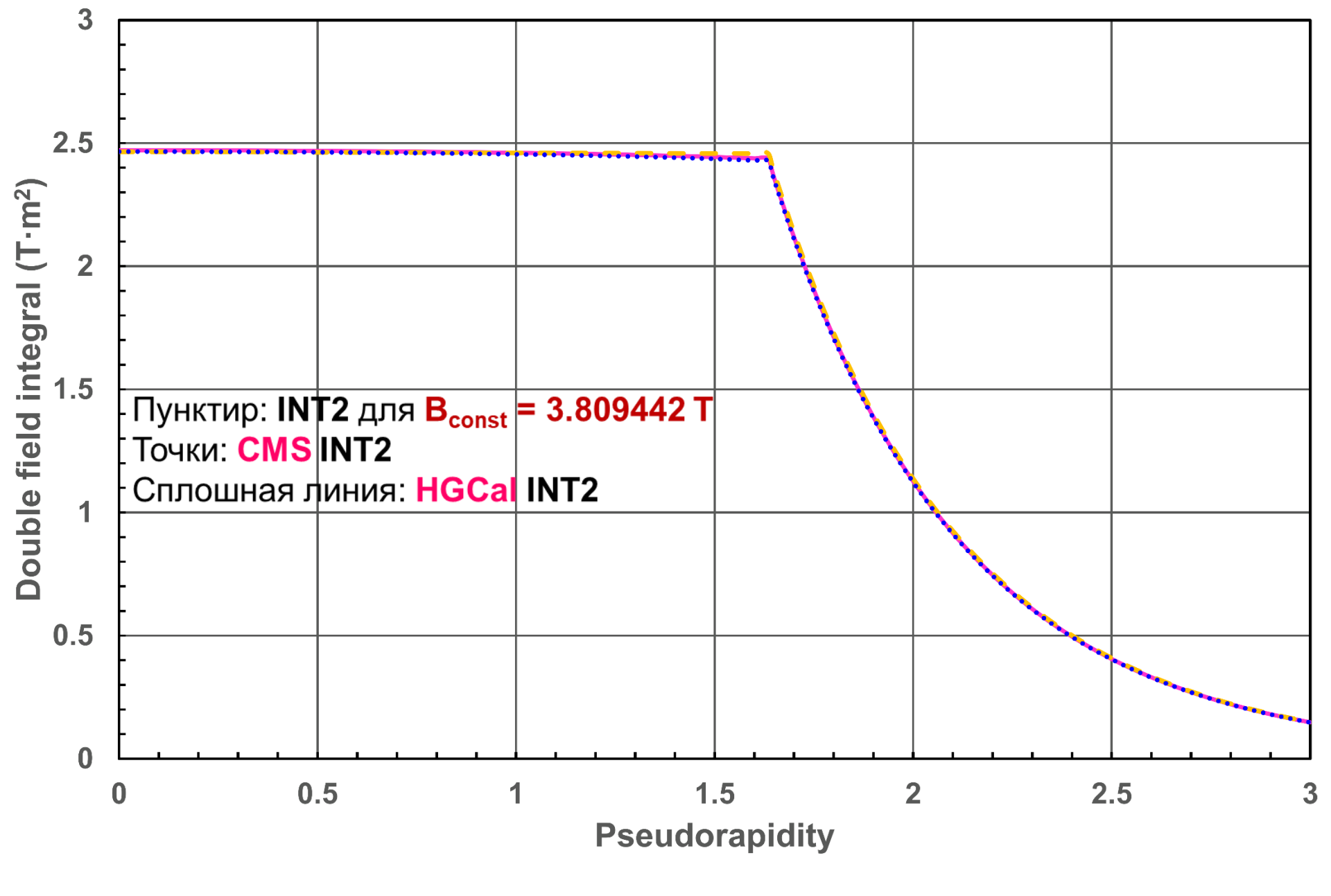
Трехмерная модель пластин поглотителя HGCal с величиной относительной магнитной проницаемости 1,05. Плотность магнитного потока на поверхности пластин падает с 3,75 до 3,15 Тл (—15,8 %). В центре, на вертикальной *RZ*-плоскости трекового детектора, показано распределение величины магнитной индукции, падающей с 3,83 до 3,68 Тл (—3,97 %). Деление цветовой шкалы составляет 0,1 Тл.

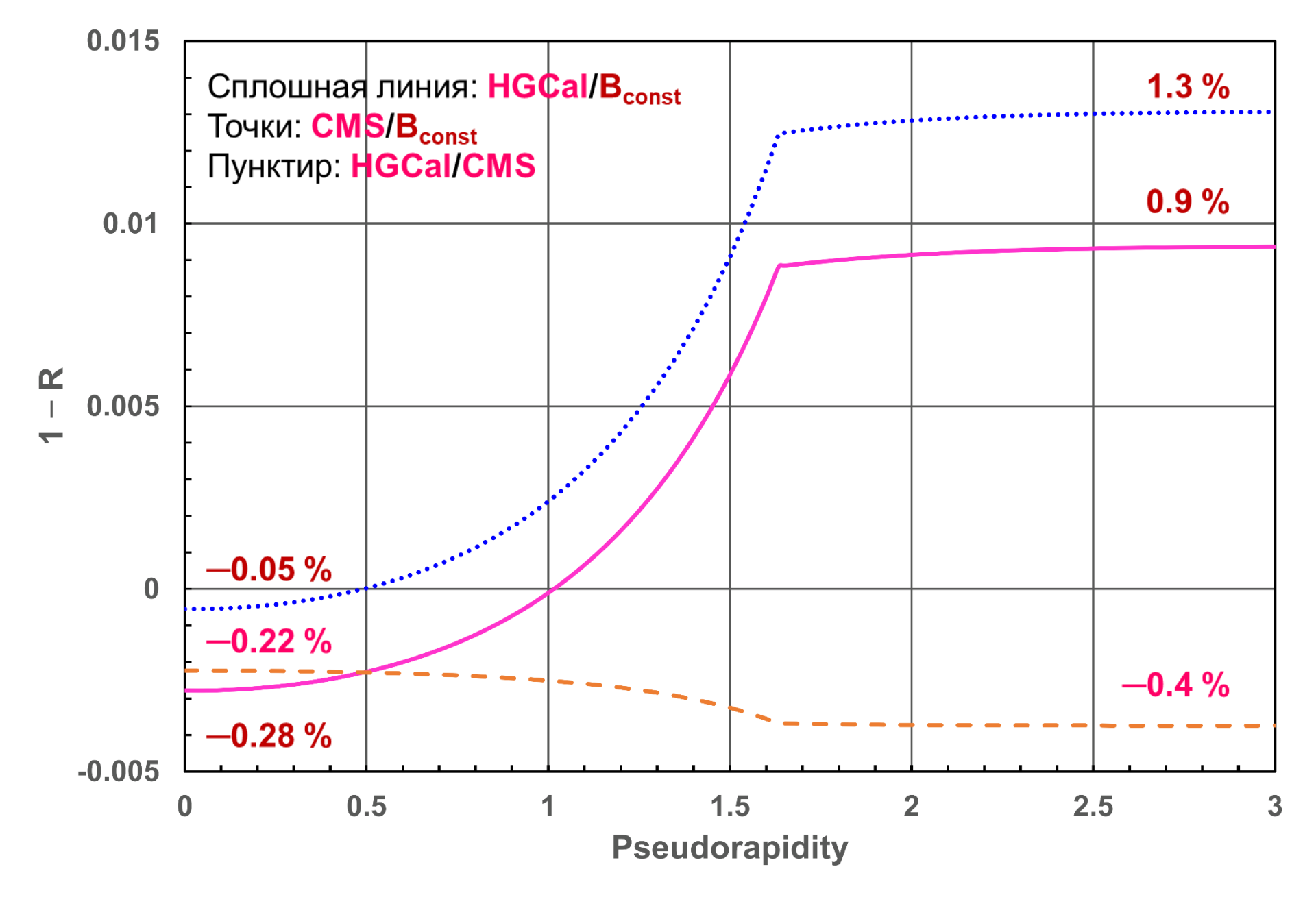


Вид внутреннего объёма трекового детектора длиной 5,6 м и диаметром 2,27 м, а также пластин поглотителя HGCal, в продольном сечении внутри соленоида детектора CMS. Величина центральной плотности магнитного потока на 0.247 % выше ее значения в настоящей конфигурации детектора CMS. Деление цветовой шкалы составляет 0,1 Тл.









Заключение

- Описан метод двойных интегралов магнитного поля, применённый к исследованию влияния материала пластин поглотителя адронного высокогранулярного торцевого калориметра на однородность магнитного поля в объёме трекового детектора.
- При объёме нержавеющей стали с относительной магнитной проницаемостью 1,05, равном у каждого торца 21,4 м³, центральная магнитная индукция возрастает на 0.247 %, а максимальная деградация двойного интеграла магнитного поля в трековом объёме улучшается с 1.3 % до 0.9 %.
- Плотность магнитного потока в объёме трекового детектора в обеих конфигурациях детектора CMS распределена однородно, что позволяет проводить измерения импульсов заряженных частиц с высокой точностью.

Спасибо за внимание!